

国立公害研究所 正員 村岡浩爾
 同 正員 津野洋
 同 正員 福島赳彦

I. はじめに

湖沼において水温は生物化学的反応の律速因子であると同時に、水温躍層の形成などにより湖流・拡散に大きく影響し、他の水質項目の鉛直分布を規定している。ここでは水質量が水平方向にほぼ一様を仮定できる湖沼を対象に、水温・プラソフトリ量・DO・リソ・CODの鉛直一次元モデルを開発し、水質の年変化のペターノを予測し現地実測値と比較を行い、各種パラメータの変化による予測値の変動を解析した。

II. 予測モデル

滞留時間の極端に短い湖沼を除き、湖流としては吹送流が支配的であり、同時に鉛直方向の混合も風により決定されることが一般的に認められる。ここではTurner-Klaus¹⁾に基づく二層モデルを用い、風による強制混合を予測モデルに組み込んだ。また湖沼においてはリソがプラソフトリ増殖の制限因子になることが多いので、リソ濃度を導入してモデルとした。以下に水温T、植物プラソフトリ量S、DO濃度θ、流入によるCOD量C、生物(植物プラソフトリ)に利用可能となりり量Pについての式を示す。

$$\frac{\partial T}{\partial t} = D \frac{\partial^2 T}{\partial z^2} - \frac{\partial \Phi}{\partial z} / (P \cdot C_p) \quad (E_1)$$

$$[B.C] \quad \Phi = \Phi_e + \Phi_{Ra,eff} - \Phi_{ev} - \Phi_{con} \quad \text{at surface}$$

$$\frac{\partial T}{\partial z} = 0 \quad \text{at bottom}$$

$$\frac{\partial S}{\partial t} = D \frac{\partial^2 S}{\partial z^2} + w \frac{\partial S}{\partial z} / (G_S) - \xi_1 TS - \gamma_{(z)} S \quad (E_2)$$

$$\frac{\partial \theta}{\partial t} = D \frac{\partial^2 \theta}{\partial z^2} + C / (G_S) - \xi_1 TS - \xi_2 TC \quad (E_3)$$

$$\frac{\partial C}{\partial t} = D \frac{\partial^2 C}{\partial z^2} - \xi_2 TC + \gamma_{(z)} (C_{in} - C) \quad (E_4)$$

$$\frac{\partial P}{\partial t} = D \frac{\partial^2 P}{\partial z^2} - (C_2(G_S) + G_C \xi_1 TS + \gamma_{(z)} (P_{in} - P)) \quad (E_5)$$

$$[B.C] \quad D \frac{\partial S}{\partial z} = w \xi_1, D \frac{\partial \theta}{\partial z} = (\theta_{sat} - \theta) \times \text{fun}(T),$$

$$\frac{\partial C}{\partial z} = 0, D \frac{\partial P}{\partial z} = 0 \quad \text{at surface}$$

$$D \frac{\partial S}{\partial z} = 0, \quad D \frac{\partial C}{\partial z} = 0, \quad D \frac{\partial P}{\partial z} = 0 \quad \text{at bottom}$$

$$\Phi_i = C_0 \phi_{in} \exp(-\eta z) \quad (E_6), \quad \eta = \text{fun}(S) \quad (E_7), \quad \phi_{in}' = \phi_{in} \text{fun}(n) \quad (E_8)$$

$$GP = (\Phi_i / \Phi_{opt}) \exp((1 - \Phi_i / \Phi_{opt}) \times (T / T_{opt}) \times C_4 P / (C_5 + P)) \times S \quad (E_9) \quad (\Phi_i, \Phi_{opt}, \phi_{in}, \Phi_{Ra,eff} = 1.0 \text{ は西浜新# 参照})$$

$$(D; 拡散係数, w; 沈降速度, P; 密度, C_p; 比熱, \xi_1, \xi_2; S, C の減少係数, \theta_{sat}; 飽和DO濃度, \Phi_{opt}, T_{opt}; \Phi, T; 関数係数, C_1 \sim C_6; 係数 \quad \text{その他は TABLE I 中に } \text{fun}();) \quad () \text{ 内の関数であることを示す。}$$

以上の連立偏微分方程式を At, Δz により差分化するとともに TABLE I により予測計算を行った。風による強制混合の強さは下層成層水の上層混合層への運行速度 U_e が実験的に次の形で表現されることを用いた。

$$U_e / u_* = m T / (g s p D) \quad (E_10) \quad m; 係数, \quad T; 風による応力 \quad T = C_g f_{air} U^2, \quad C_g; 風の摩擦損失係数,$$

TABLE I 予測フロー

[入力] (1) 湖盆形状、負荷量 (リソ-Pin, COD-Cin), 流入流出水量
 (2) 気象条件 日射量 Φ, 湿度 φ, 気温 Tair, 一年変化調和予測
 雲量 R, 風速 U - 各月頻度による乱数予測

(3) Time Step At, Depth Step Δz

↓
 [1st Step] 短波長の日射、拡散、流入流出、生物化学的反応、再曝気による水質量の変化

↓
 [2nd Step] 水表面での潜熱 Φv, 顯熱 Φcon, 有効逆輻射 ΦRa,eff による表面水温変化及びこれによる密度不安定成層消滅のための自然対流混合(完全混合)

↓
 [3rd Step] 風による強制対流混合(完全混合)

↓
 [4th Step] プラソフトリの沈降による変化

↓
 [5th Step] 水深 z との流入流出係数 γ(z) の決定 (最大密度勾配水深より上層のみで流入流出が存在することを仮定), 光透過係数 η の決定

$$\Phi_i = C_0 \phi_{in} \exp(-\eta z) \quad (E_6), \quad \eta = \text{fun}(S) \quad (E_7), \quad \phi_{in}' = \phi_{in} \text{fun}(n) \quad (E_8)$$

$$GP = (\Phi_i / \Phi_{opt}) \exp((1 - \Phi_i / \Phi_{opt}) \times (T / T_{opt}) \times C_4 P / (C_5 + P)) \times S \quad (E_9) \quad (\Phi_i, \Phi_{opt}, \phi_{in}, \Phi_{Ra,eff} = 1.0 \text{ は西浜新# 参照})$$

$$(D; 拡散係数, w; 沈降速度, P; 密度, C_p; 比熱, \xi_1, \xi_2; S, C の減少係数, \theta_{sat}; 飽和DO濃度, \Phi_{opt}, T_{opt}; \Phi, T; 関数係数, C_1 \sim C_6; 係数 \quad \text{その他は TABLE I 中に } \text{fun}();) \quad () \text{ 内の関数であることを示す。}$$

$$U_e / u_* = m T / (g s p D) \quad (E_10) \quad m; 係数, \quad T; 風による応力 \quad T = C_g f_{air} U^2, \quad C_g; 風の摩擦損失係数,$$

ρ_{air} ; 大気密度, $U_* = \sqrt{T/\rho}$, g ; 重力加速度, $\delta\rho$; 上層と下層の密度差, D ; 混合層厚さ

m の値は、Kato-Phillips³⁾ の実験で 2.5, Wu⁴⁾ の実験で 0.234 と異なり、この値をもとに変化させ、予測値の変動を調べた。計算は $AT = 0.1$ 年で発散しない程度に細く刻み、年変化が正常となりまで続ける。(4 年程度)

III. 予測結果

対象とした湖は日光湯の湖と琵琶湖北湖であり、TABLE 2 基本タイプ係数値に示したように一般に広く用いられている数値により予測計算を行った。湯の湖での夏秋の実測値との比較を Fig. に示す。また基本タイプ係数より C_3, ω, m の値を各種に変化させた場合の予測値の変動を TABLE 3, 4 に示す。以上と湯の湖、琵琶湖北湖に関する報告書(IBM, 栃木県, 岐阜県 etc.)によると実測値と比較により予測値の適合度、問題点をまとめみる。

(i) 水温一年変化、躍層下での水温分布は $m = 0.2 \sim 0.67$ 程度で実測値とほぼ一致した。躍層より上では予測値は均一化しきっていて、これは自然・強制対流により水塊・物質の完全混合を仮定しているためで、混合層が厚くなると混合層中の混合度も考慮しなければならないと考えられる。また水厚(湯の湖)は水上層の水温を考えることによりシミュレーションできた。

(ii) 植物プランクトン量

TABLE 3. SMAX(ppm), SMAX-DATE (from Jan. 1) for various c_3 and w

In YUNOKO				
w	1.0	0.5	0.3	0.1
0.188	4.28, 180			
18.8	3.16, 170	2.60, 150	2.61, 150	2.49, 150
37.6	2.37, 160	2.10, 150	2.04, 150	
94.0	diverge			

w, C_3 により大きく変化するが、滞留時間の短かい湯の湖の場合 w に依存し、長い琵琶湖北湖の場合 C_3 (リソの回帰率) に依存する割合が大きい。SMAX とみなす DATE は T_{opt} に支配され、 $T_{opt} = 350 \text{ cal/cm}^2/\text{day}$ を湯の湖 2.86 ppm - 200 日、琵琶湖 0.85 ppm - 170 日であった。

(iii) DO — 跳層より下層での濃度が実測値ほど下がらない。この理由としては(i)水温で述べた完全混合の仮定とも考えられるが、湯の湖の場合、底泥の酸素要求量を評価しないで予測を行ったためと考えられる。

IV. 最後に

今後、数多くの湖沼を対象に選び本モデルの適合度を調べるとともに、問題点としてあげられた自然・強制対流による混合度及び各種の係数値の大きさを実測・実験を通して調べてゆきたいと考えている。

[文献] 1) Tellus XIX (1967) 1 2) 水温論, 杉村講座 10, 共立出版 etc. 3) J. Fluid Mech. (1969) Vol. 37, part 4

4) J. Fluid Mech. (1973) Vol. 61, part 2

5) 本稿掲載研究に関するシンポジウム論集 1978, 津野・相馬・合田

Table 2 Coefficient for basic type

$D = 0.01 \text{ cm}^2/\text{sec}$, $w = 18.8 \text{ cm/day}$, $m = 0.4$, $\epsilon_1 = \epsilon_2 = 0.004$, $T_{opt} = 27^\circ\text{C}$
$\phi_{opt} = 210 \text{ cal/cm}^2/\text{day}$, $c_1 = 1.21$, $c_2 = 0.0088$, $c_4 = 2/\text{day}$, $c_5 = 0.02$
$\Delta t = 0.1 \text{ day}$
ppm
for YUNOKO $\Delta z = 0.5 \text{ m}$, $c_3 = 1.0$, $C_y = 0.0013$, $T = 0.035$, $C_{in} = 3 \text{ ppm}$, $P_{in} = 0.2 \text{ ppm}$
for BIWAKO $\Delta z = 2 \text{ m}$, $c_3 = 0.5$, $C_y = 0.0022$, $T = 0.00046$, $C_{in} = 5 \text{ ppm}$, $P_{in} = 0.0039 \text{ ppm}$

Fig. Calculated and Observed data in YUNOKO

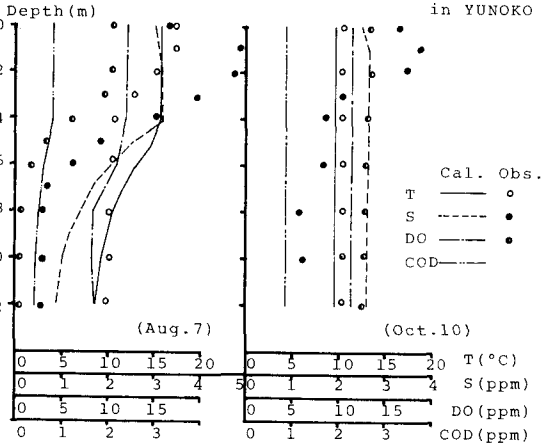


TABLE 3. SMAX(ppm), SMAX-DATE (from Jan. 1) for various c_3 and w

In BIWAKO				
w	1.0	0.5	0.3	0.1
2.91, 150				
2.26, 150	0.86, 150	0.77, 150	0.66, 150	
1.79, 150	0.84, 150	0.63, 150		
1.06, 130	0.63, 150			

TABLE 4. Values for various m

In YUNOKO										
m	TMAX	DATE	TMIN	DATE	Uniform T	duration	SMAX	DATED	DOMIN	DATE
3.5	15.7	230	41.9	30	100-140	230-330	2.96	200	10.1	220
0.6	15.6	230	39.8	20	100-130	270-310	3.12	170	5.22	260
0.2	15.6	230	36.8	20	100-120	280-310	3.16	170	4.83	270
0.02	15.7	230	35.7	20	100-120	280-310	3.20	150	5.50	270
					120	, 290-300	3.13	150	5.80	280

In BIWAKO

m	TMAX	DATE	TMIN	DATE	Uniform T	duration	SMAX	DATED	DOMIN	DATE
2.5	24.8	230	4.8	60	10-70		0.63	190	8.6	240
0.67	25.0	230	4.4	50	20-70		0.80	160	8.2	230
0.4	25.0	230	4.3	50	20-70		0.86	150	8.2	250
0.2	25.0	230	4.1	50	20-60		0.86	150	8.2	240
0.02	24.5	220	3.8	50	20	, 40-70	2.16	110	3.8	320

at 0-20m depth

In BIWAKO

m	TMAX	DATE	TMIN	DATE	Uniform T	duration	SMAX	DATED	DOMIN	DATE
2.5	24.8	230	4.8	60	10-70		0.63	190	8.6	240
0.67	25.0	230	4.4	50	20-70		0.80	160	8.2	230
0.4	25.0	230	4.3	50	20-70		0.86	150	8.2	250
0.2	25.0	230	4.1	50	20-60		0.86	150	8.2	240
0.02	24.5	220	3.8	50	20	, 40-70	2.16	110	3.8	320

at 0-20m depth